Dans cette partie, nous allons voir l'aperçu général du logiciel et tester si le logiciel arrive à détecter les non- conformités évalués dans la partie précédente.

Chapitre 9 : Généralités sur le logiciel

9.1 But de la conception du logiciel

Le but de la conception du logiciel est d'avoir un logiciel à l'usage du prévisionniste aéronautique qui aidera ce dernier à détecter les non-conformités dans une TAF avant de l'envoyé. Ainsi, la conception de ce logiciel est considérée comme une Action Corrective Action Préventive (ACAP) face à l'existence des non conformités dans la deuxième partie.

Comme la plupart des structures de contrôles utilisés dans la conception de ce logiciel sont ceux dans le logiciel de la partie précédente (logiciel qui donne le taux de non-conformité des prévisions d'aérodromes), nous avons intérêt à l'intégré dans le premier logiciel. Ainsi, le logiciel final aura deux options : évaluation TAF et vérification TAF.

Il est tout à fait évident que les contrôles que ce logiciel effectue sont par rapport aux règles en vigueur actuel.

9.2 Ordinogramme d'utilisation du logiciel

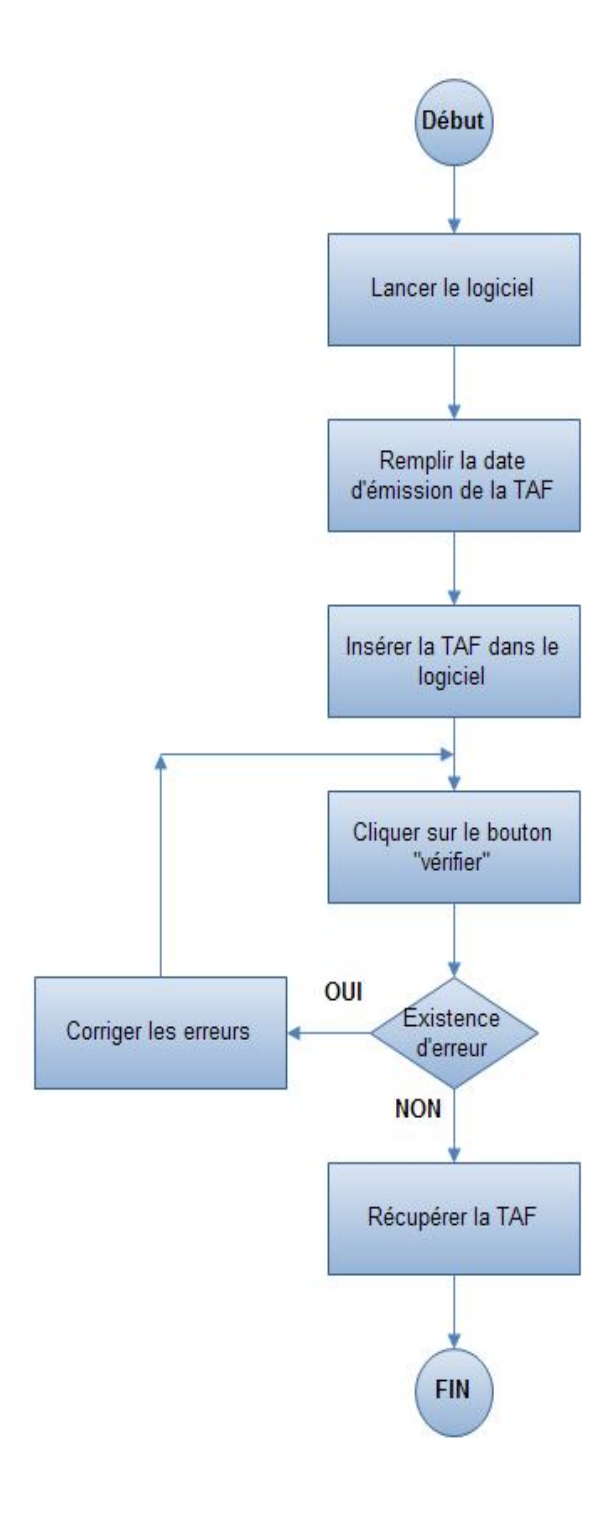


Figure III.1: Ordinogramme d'utilisation du logiciel

Chapitre 10 : Détection des non-conformités sur la forme du message

10.1 Détection des non-conformités sur les groupes obligatoires

10.1.1 Détection de non-conformité sur le groupe indicateur du type de prévision

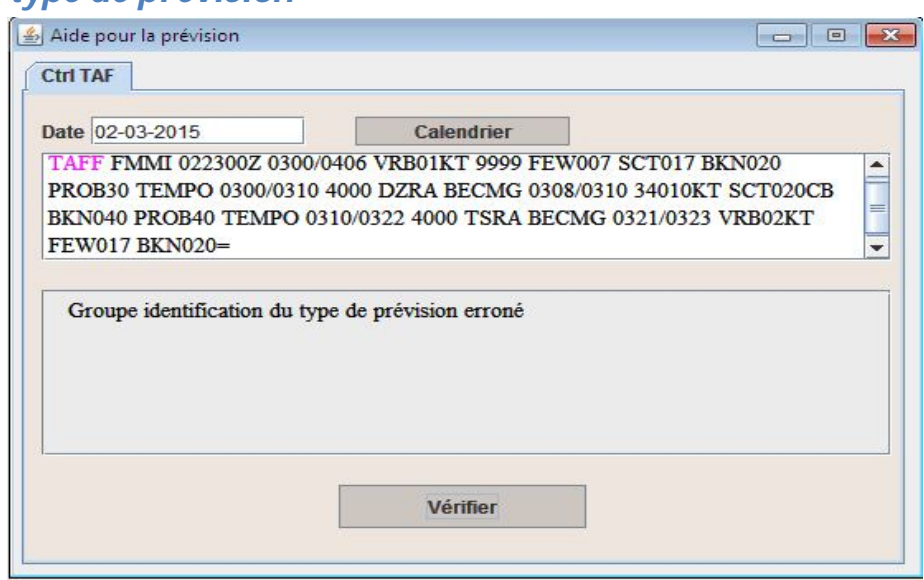


Figure III.2: Exemple de détection de non-conformité sur le groupe indicateur du type de prévision

10.1.2 Détection de non-conformité sur le groupe indicateur d'emplacement

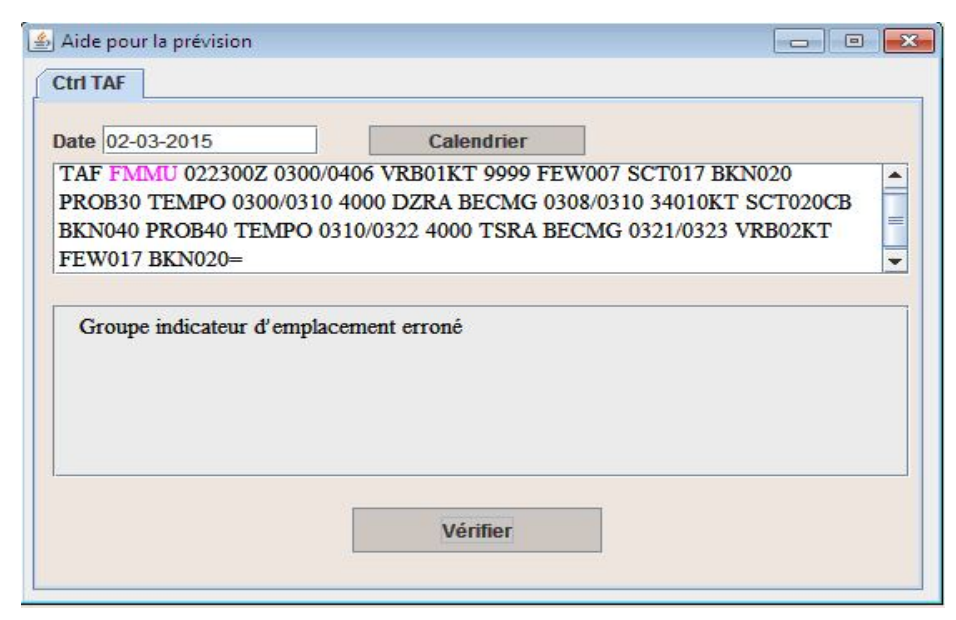


Figure III.3: Exemple de détection de non-conformité sur le groupe indicateur d'emplacement

10.1.3 Détection de non-conformité sur le groupe temps d'établissement de la prévision

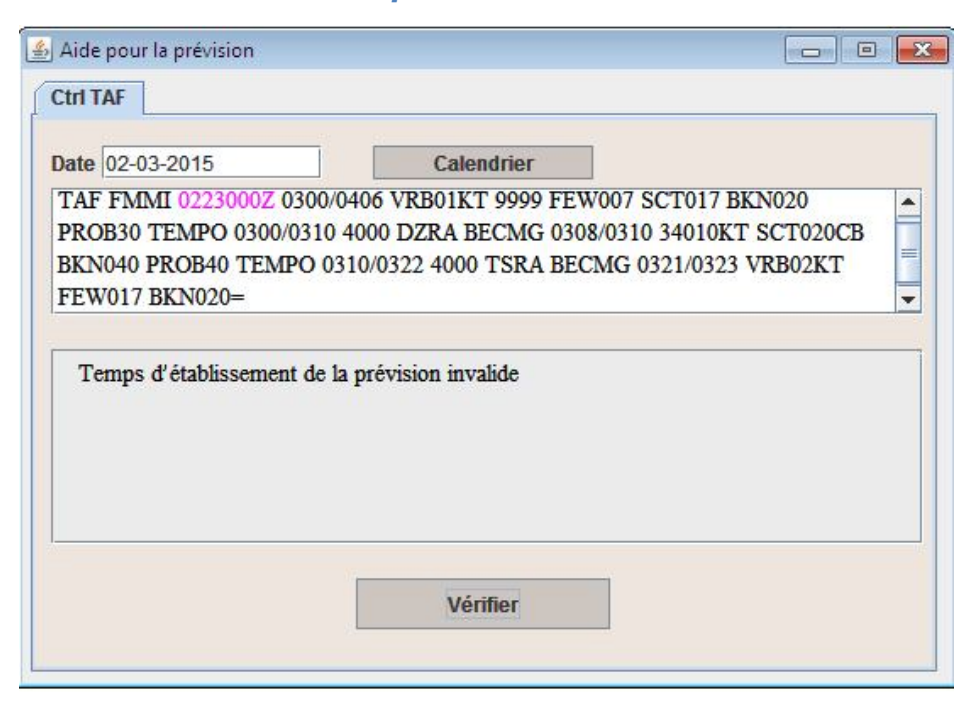


Figure III.4: Exemple de détection de non-conformité sur le groupe temps d'établissement de la prévision

10.1.4 Détection de non-conformité sur le groupe période de validité de la prévision

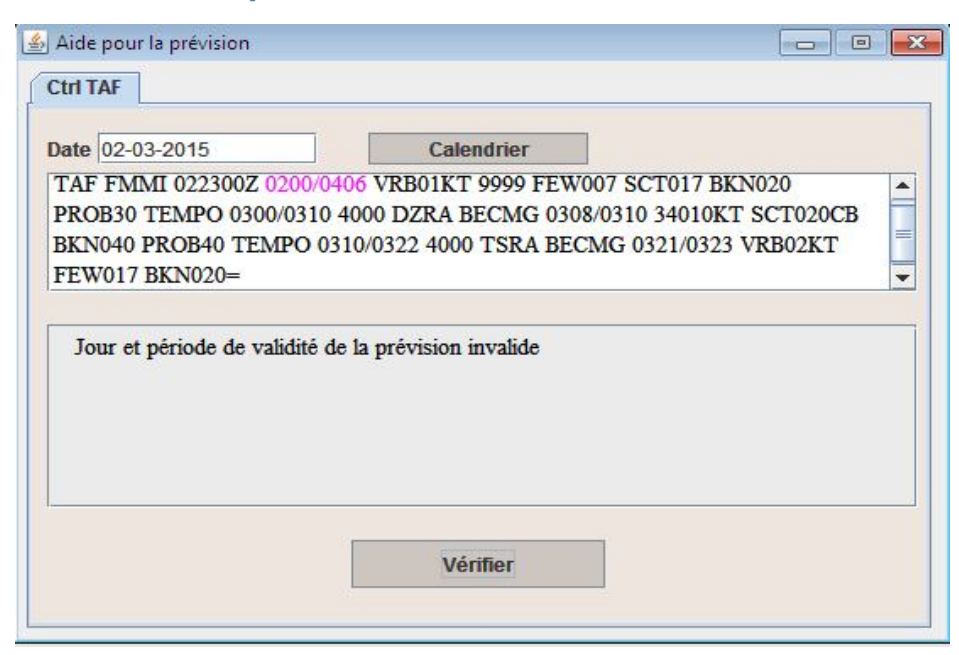


Figure III.5 : Exemple de détection de non-conformité sur le groupe période de validité de la prévision

10.1.5 Détection de non-conformité sur le format du groupe vent

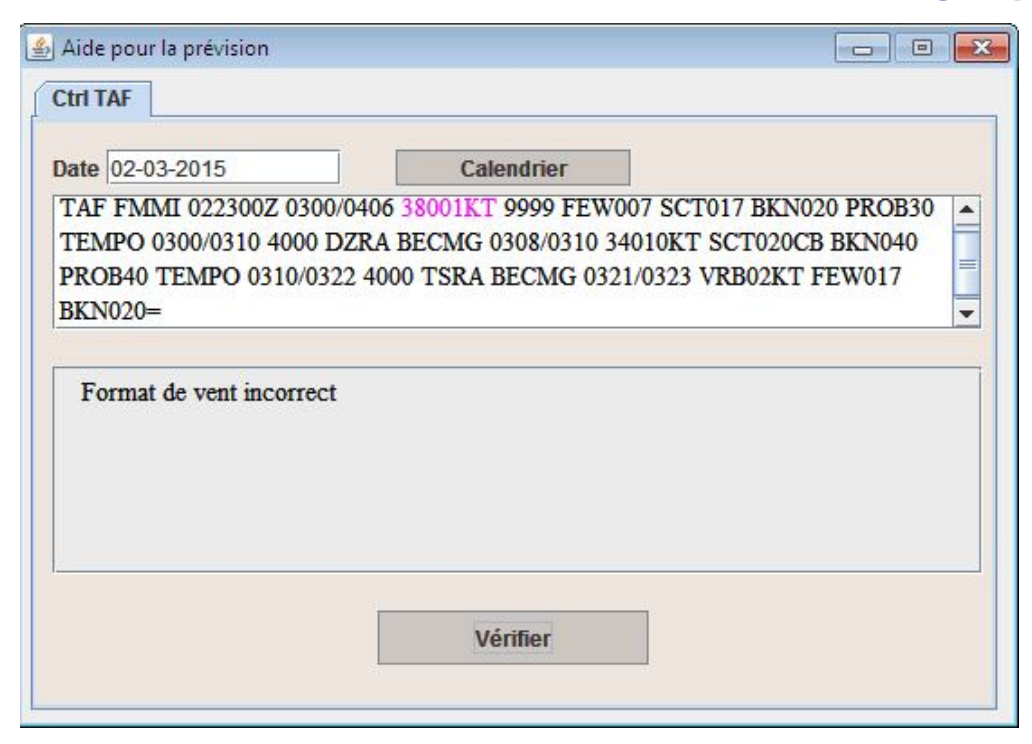


Figure III.6 : Exemple de détection de non-conformité sur le format du groupe vent

10.1.6 Détection de non-conformité sur le format du groupe visibilité

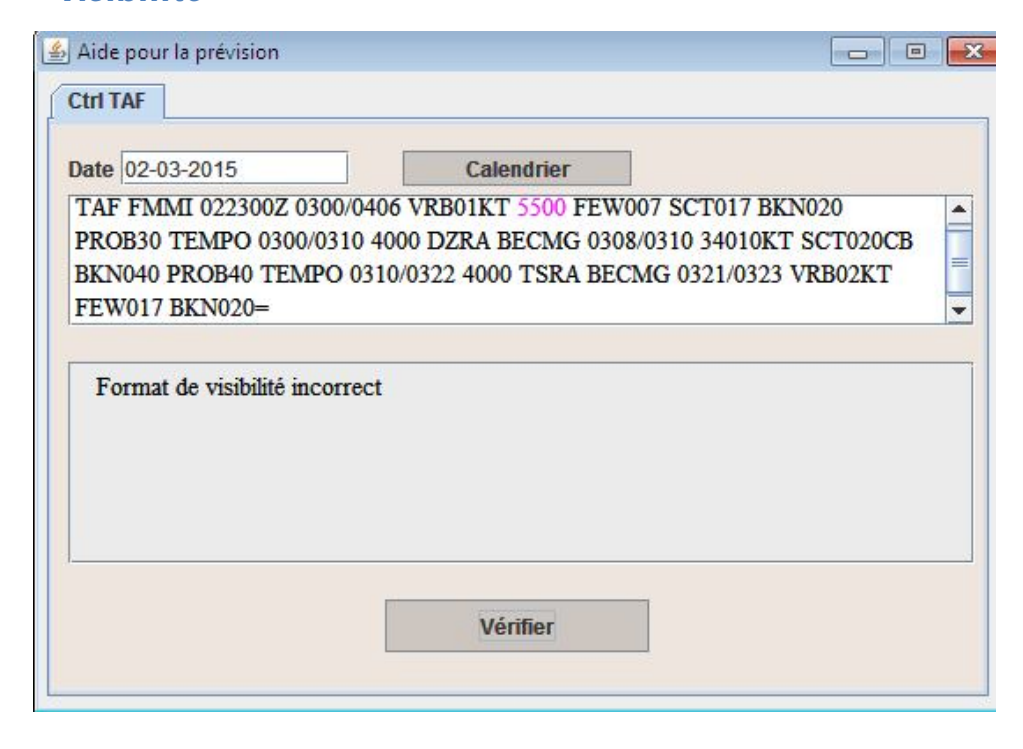


Figure III.7 : Exemple de détection de non-conformité sur le format du groupe visibilité

10.1.7 Détection de non-conformité sur le format du groupe des nuages

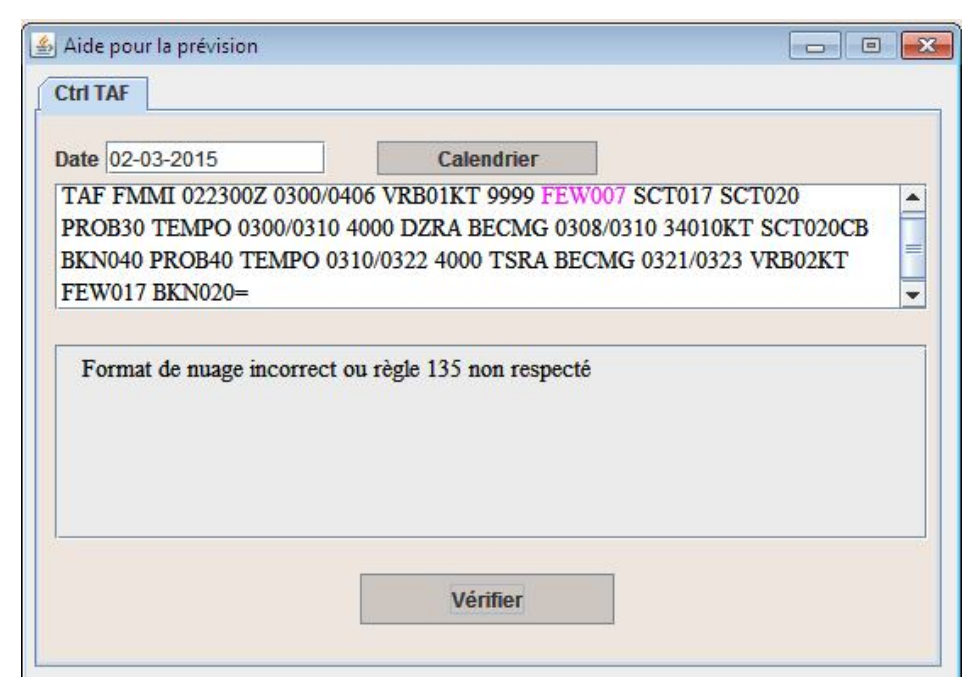


Figure III.8 : Exemple de détection de non-conformité sur le format du groupe des nuages

10.2 Détection d'omission des groupes obligatoires 10.2.1 Détection d'omission de groupe indicateur du type de

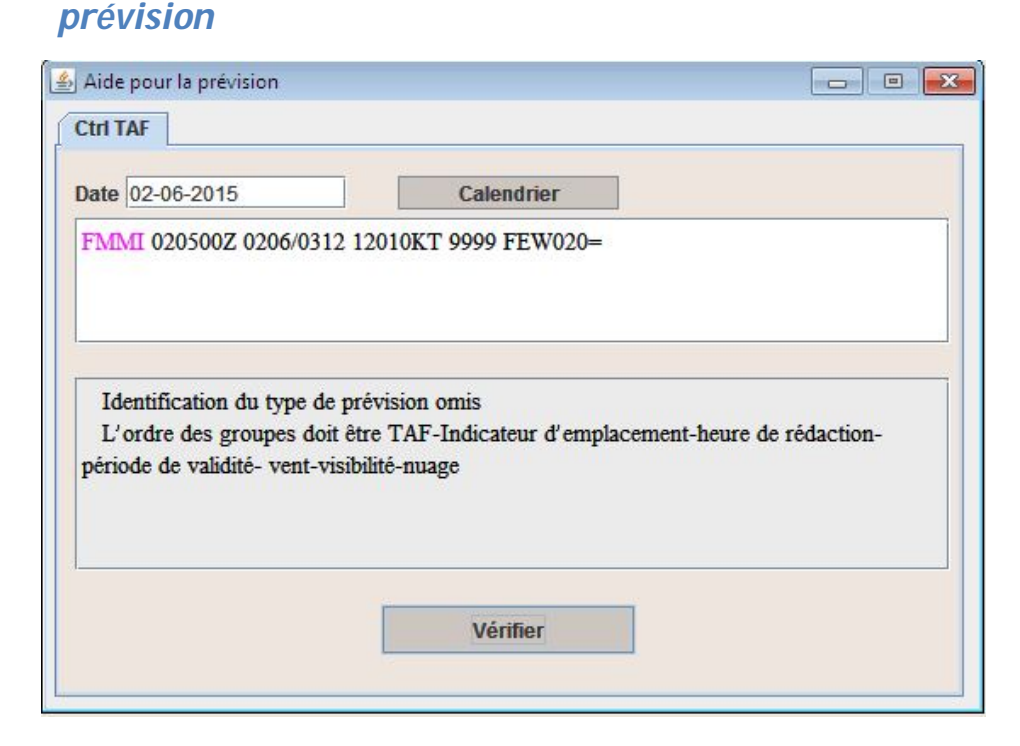


Figure III.9 : Exemple de détection d'omission du groupe indicateur du type de prévision

10.2.2 Détection d'omission de groupe indicateur d'emplacement

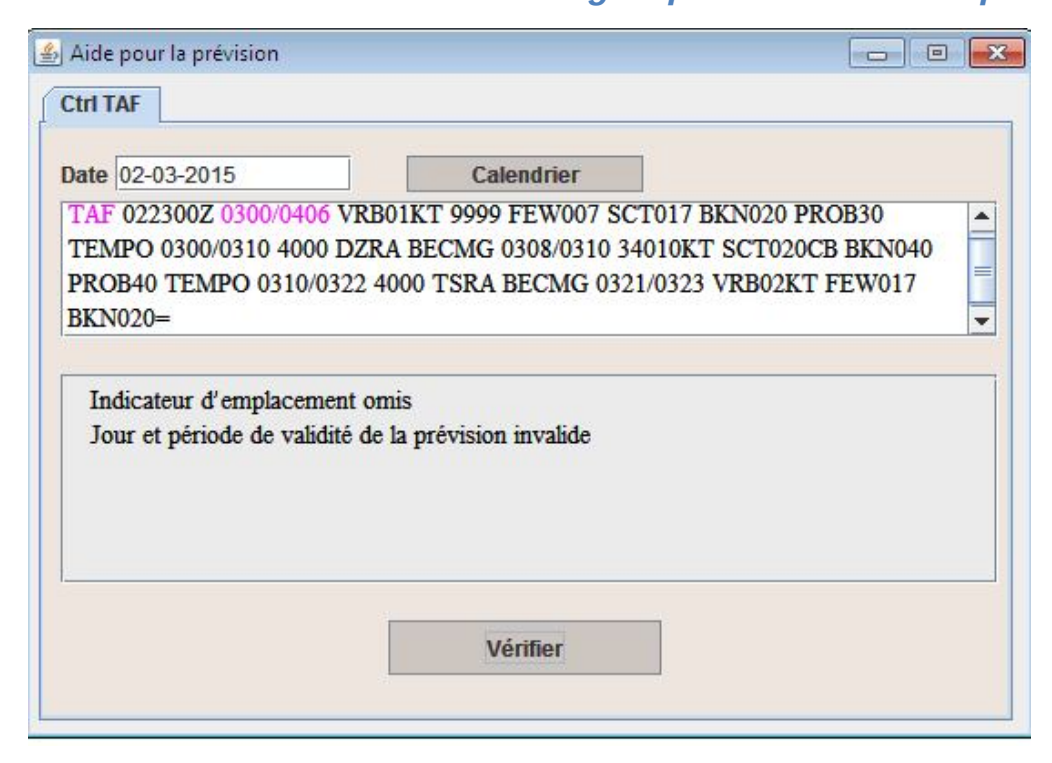


Figure III.10 : Exemple de détection d'omission du groupe indicateur d'emplacement

10.2.3 Détection d'omission du groupe temps d'établissement de la prévision

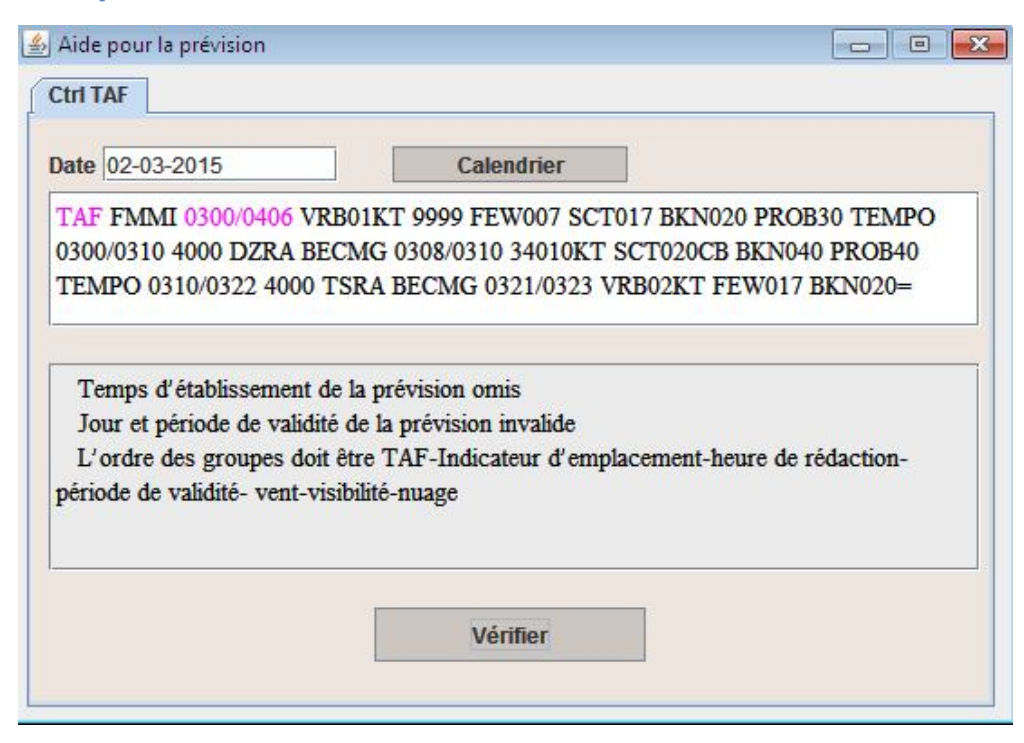


Figure III.11: Exemple de détection d'omission du groupe temps d'établissement de la prévision

10.2.4 Détection d'omission du groupe période de validité de la prévision

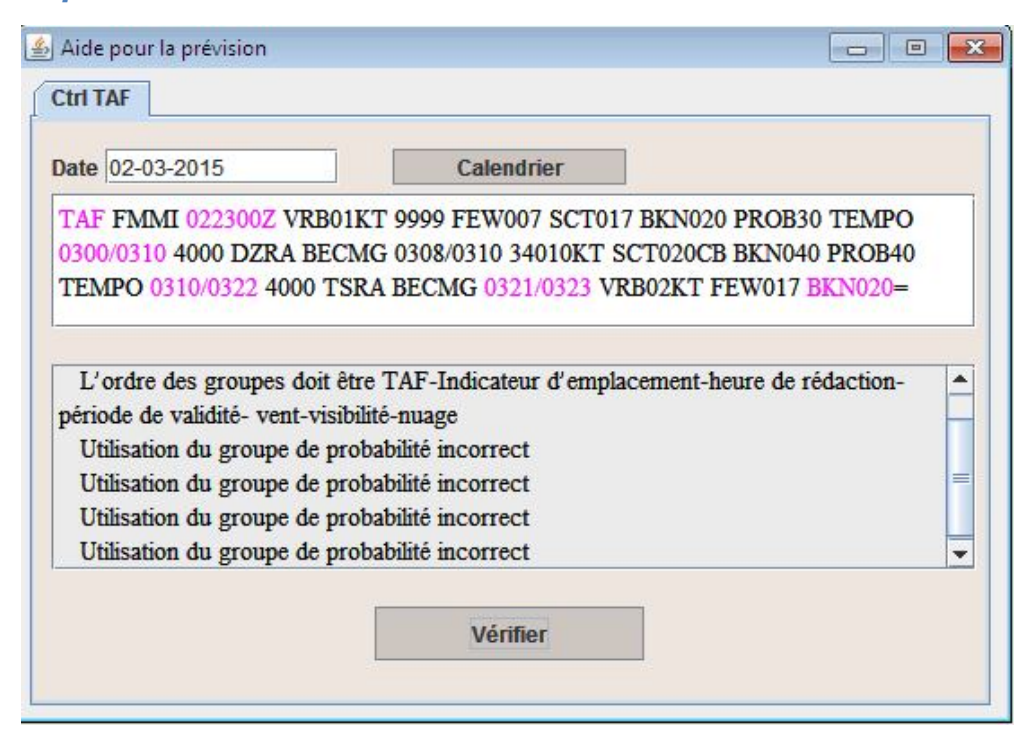


Figure III.12: Exemple de détection d'omission du groupe période de validité de la prévision

10.2.5 Détection d'omission du groupe vent

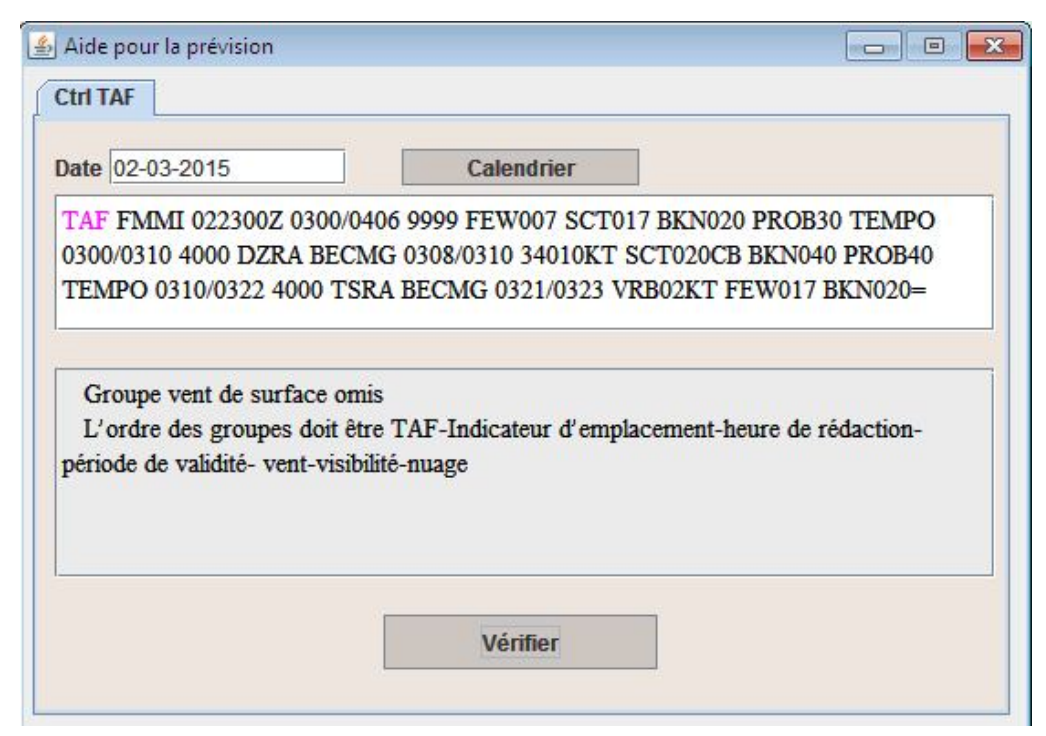


Figure III.13: Exemple de détection d'omission du groupe vent

10.2.6 Détection d'omission du groupe visibilité

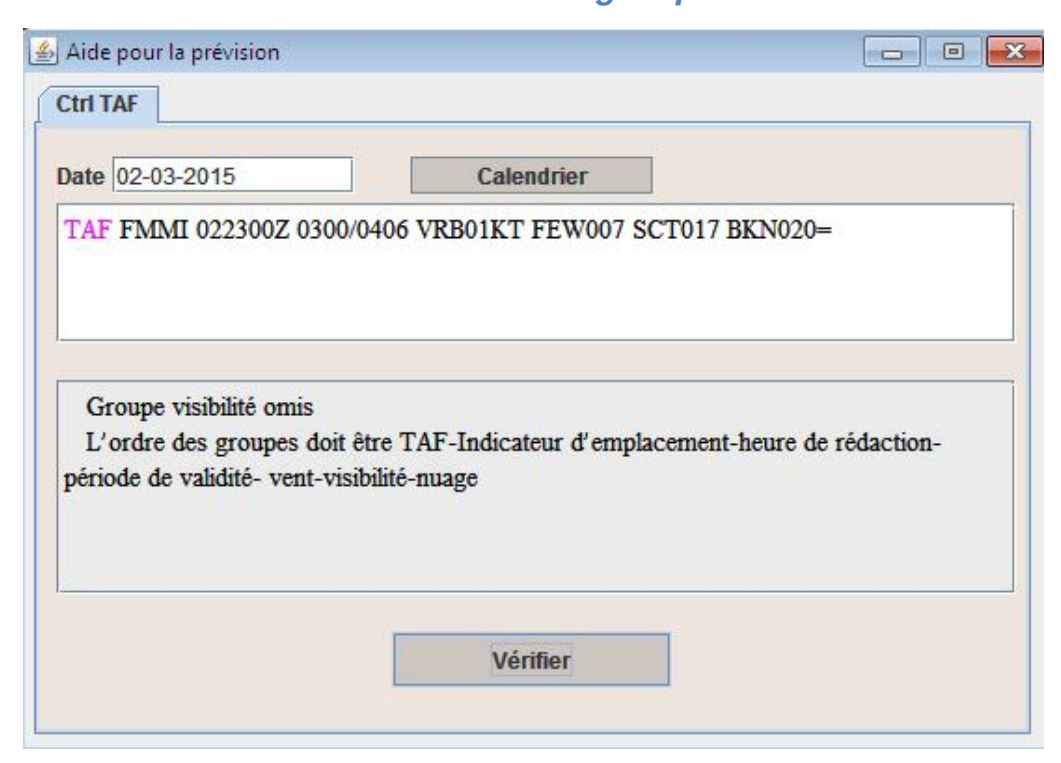


Figure III.14: Exemple de détection d'omission du groupe visibilité

10.2.7 Détection d'omission des groupes de nuages

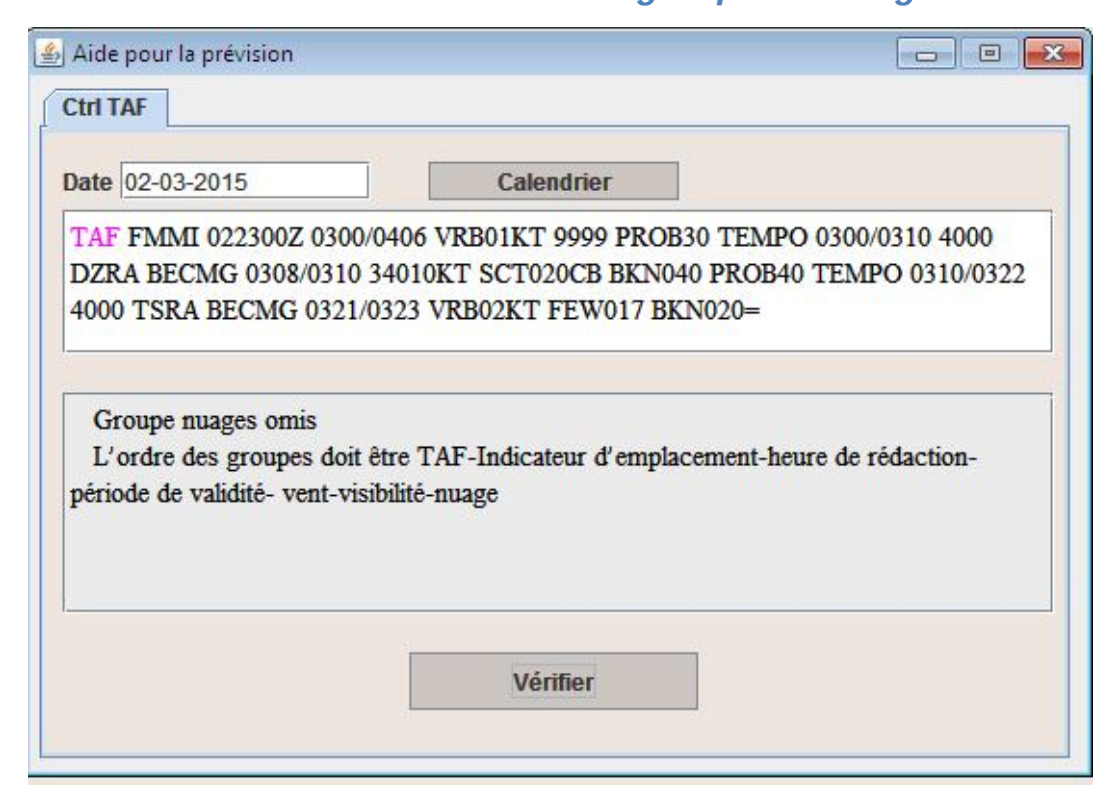


Figure III.15: Exemple de détection d'omission des groupes de nuages

10.3 Détection d'erreur sur l'ordre des groupes obligatoires

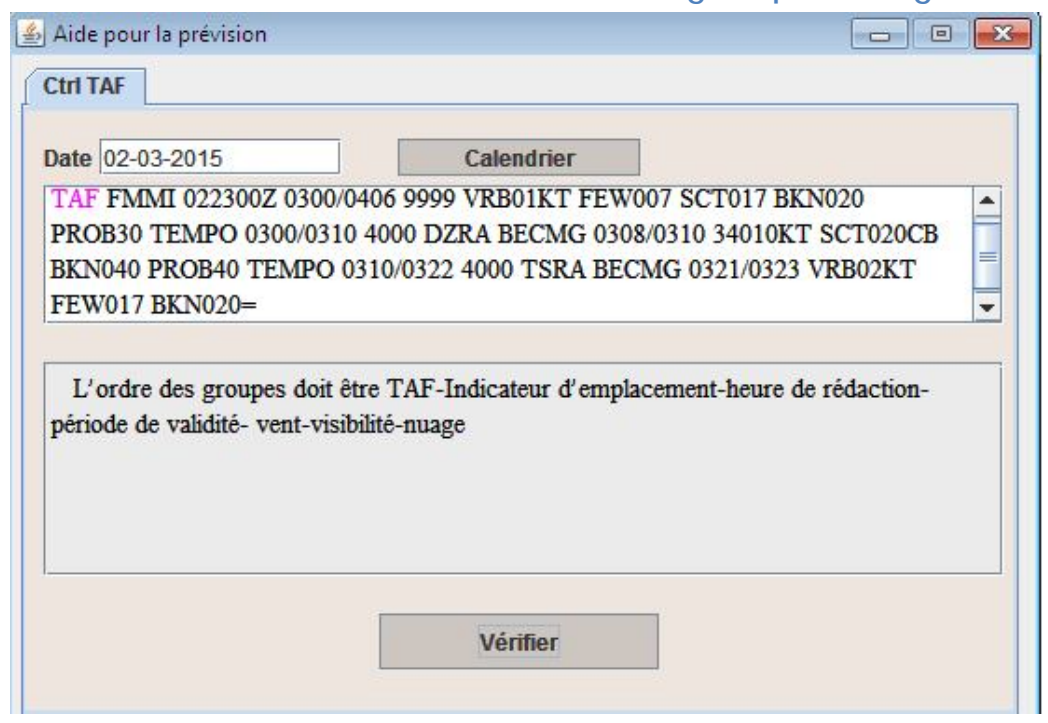


Figure III.16: Exemple de détection d'erreur sur l'ordre des groupes obligatoires

Chapitre 11 : Détection des non-conformités sur l'utilisation des groupes indicateurs d'évolution d'élément météorologique

11.1 Détection de non-conformité sur l'utilisation des groupes indicateurs d'évolution de vent

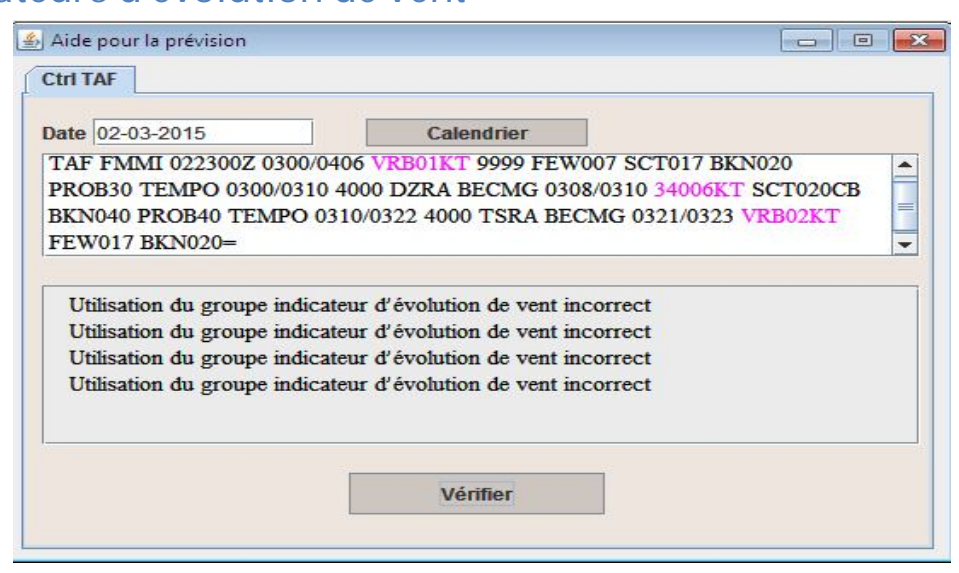


Figure III.17: Exemple de détection de non-conformité sur l'utilisation des groupes indicateurs d'évolution de vent

11.2 Détection de non-conformité sur l'utilisation des groupes indicateurs d'évolution de visibilité

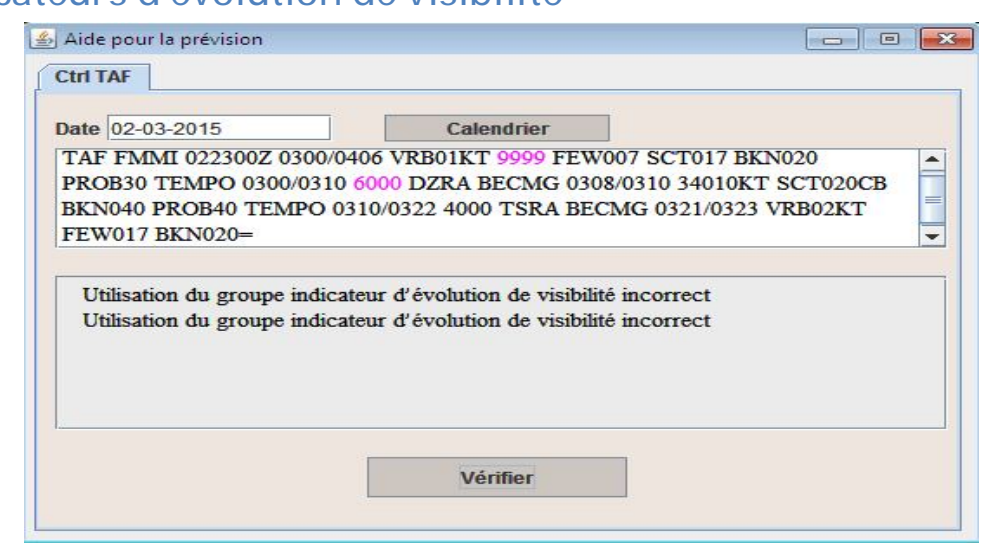


Figure III.18: Exemple de détection de non-conformité sur l'utilisation des groupes indicateurs d'évolution de visibilité

11.3 Détection de non-conformité sur l'utilisation des groupes indicateurs d'évolution de phénomène

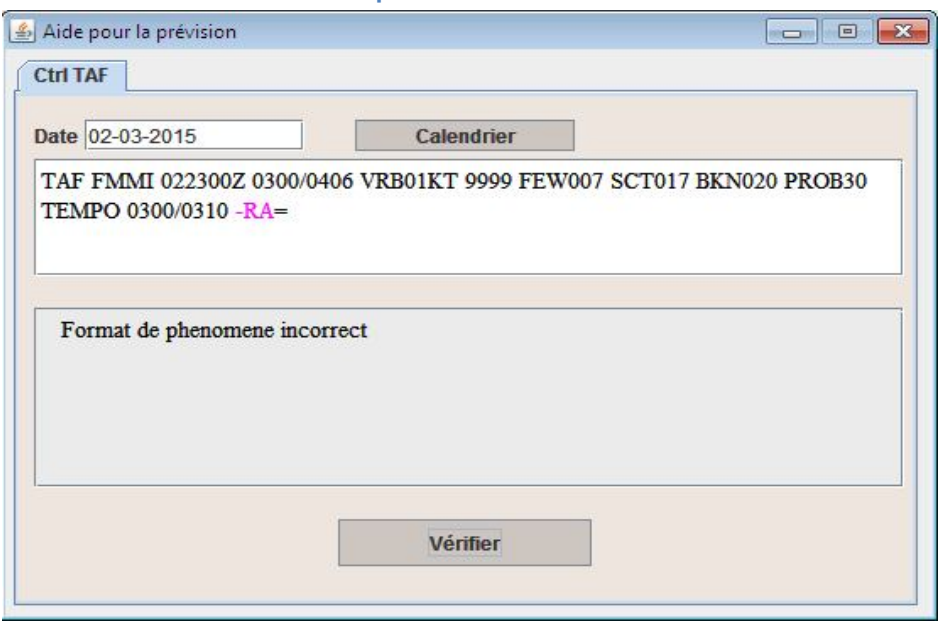


Figure III.19 : Exemple de détection de non-conformité sur l'utilisation des groupes indicateurs d'évolution de phénomène

11.4 Détection de non-conformité sur l'utilisation des groupes indicateurs d'évolution des nuages

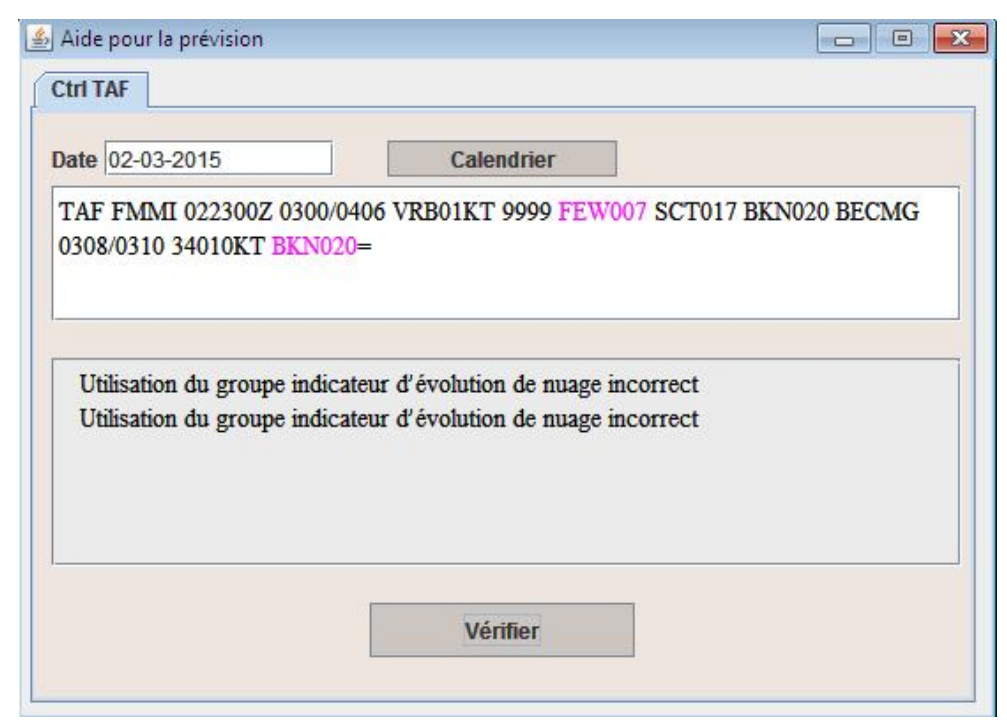


Figure III.20 : Exemple de détection de non-conformité sur l'utilisation des groupes indicateurs d'évolution des nuages

11.5 Test sur la cohérence entre phénomène prévu et les autres éléments prévus

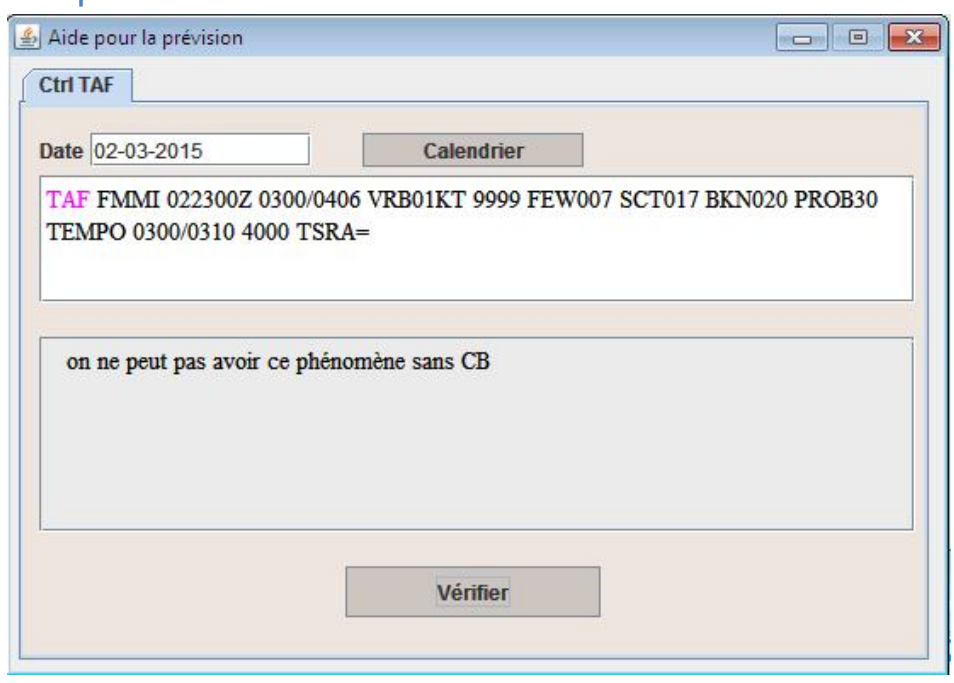


Figure III.21: Exemple de détection de non-cohérence entre phénomène prévu et nuages prévus

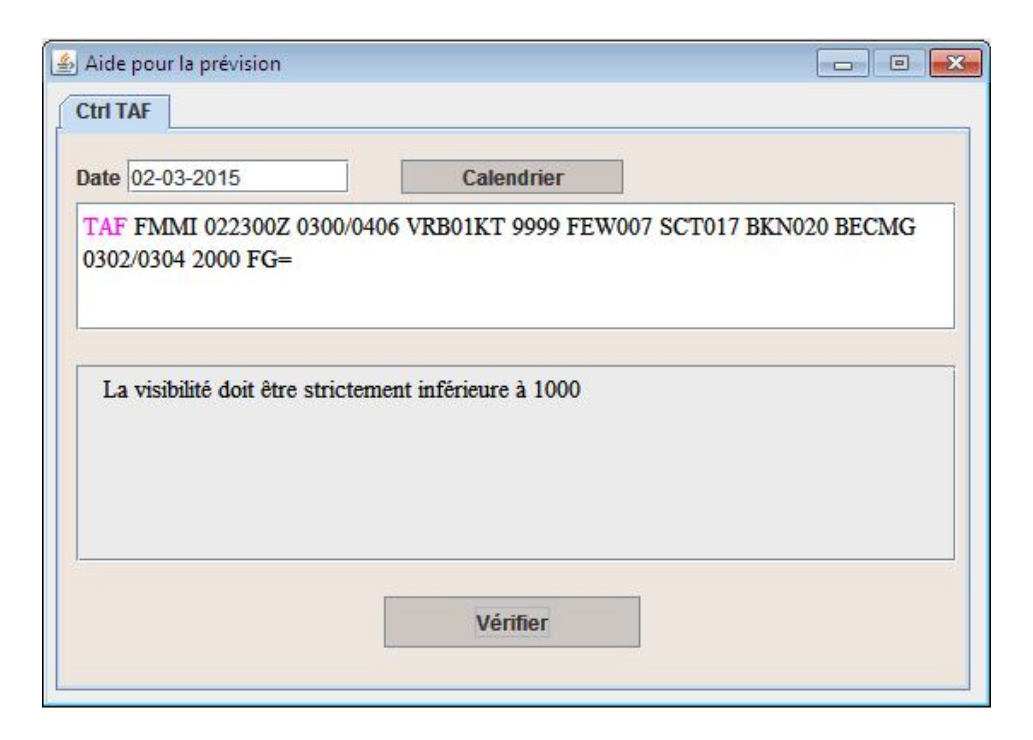


Figure III.22: Exemple de détection de non-cohérence entre phénomène prévu et visibilité prévue

Chapitre 12 : Détection des non-conformités sur l'utilisation des groupes de probabilités et d'évolution

12.1 Détection de non-conformité sur la période de validité de BECMG

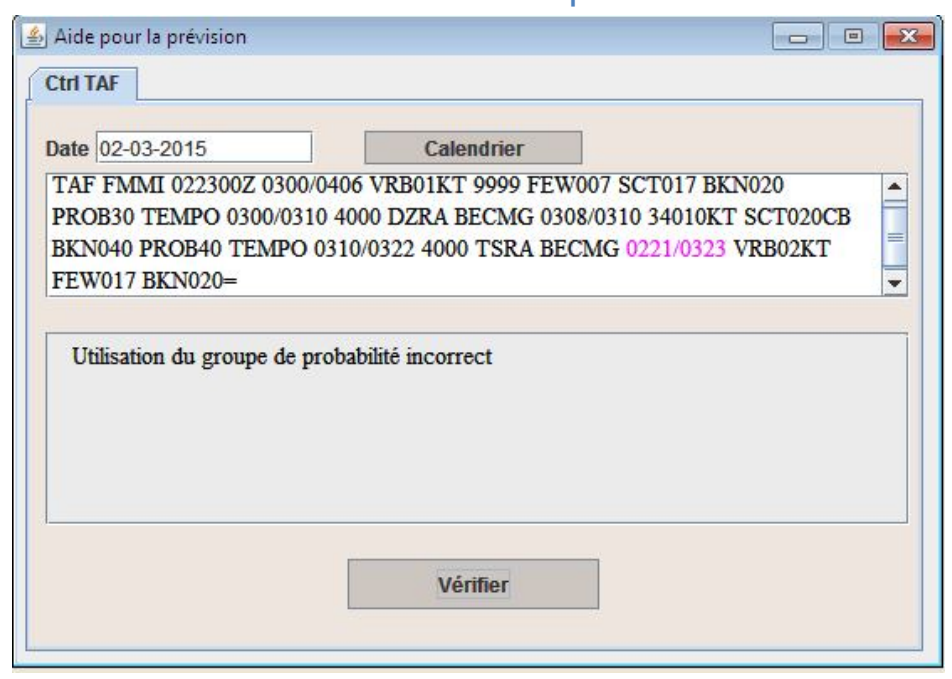


Figure III.23: Exemple de détection de non-conformité sur l'utilisation de la période de validité de BECMG

12.2 Détection de non-conformité sur la période de validité de TEMPO

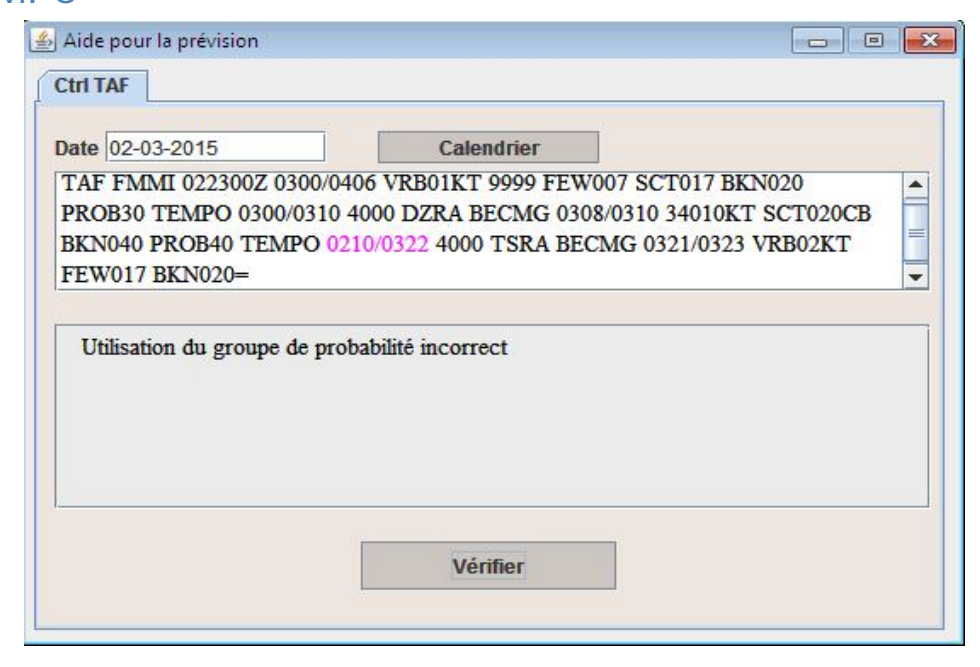


Figure III.24: Exemple de détection de non-conformité sur l'utilisation de la période de validité de TEMPO

12.3 Détection de non-conformité sur le nombre de groupe indicateur d'évolution et de probabilité

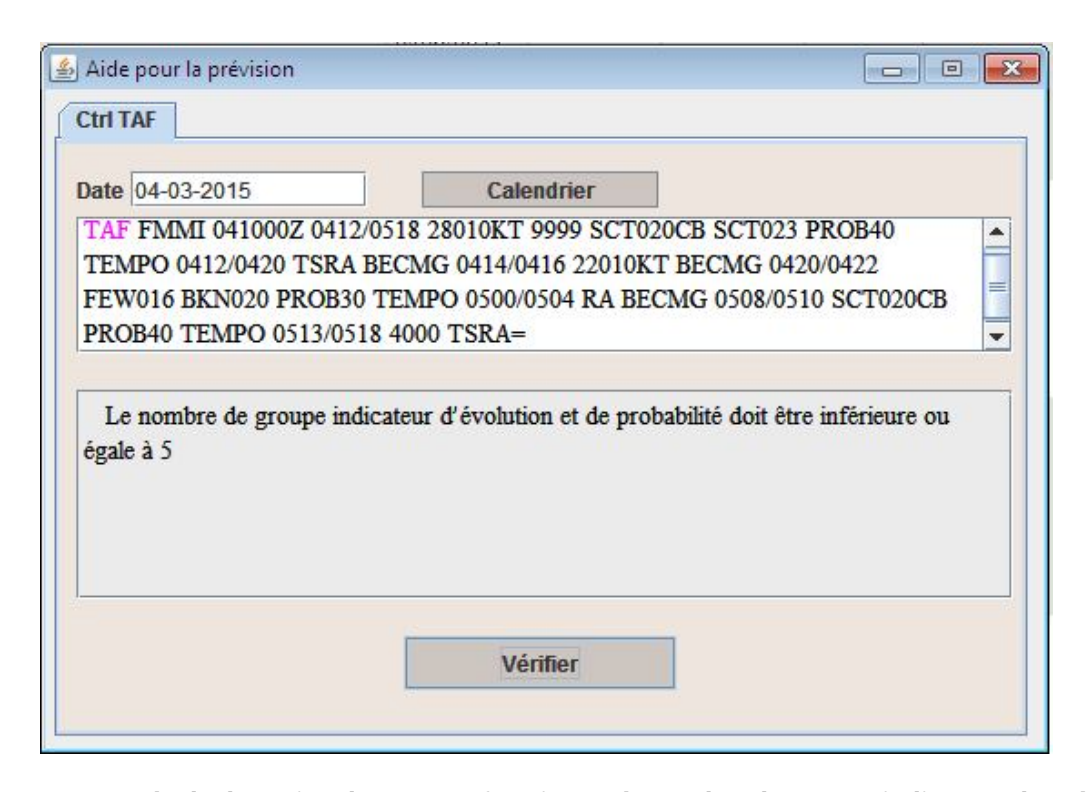


Figure III.25: Exemple de détection de non- conformité sur le nombre de groupe indicateur d'évolution et de probabilité

Conclusion sur la troisième partie

La troisième partie consiste essentiellement au test du logiciel qui permet de détecter les non-conformités dans une prévision d'aérodrome avant de l'envoyer.

Dans le test, diverses éventualités de non-conformités ont été simulées et détectées par le logiciel. Comme les prévisions d'aérodrome sont rédigées manuellement par les prévisionnistes, la vérification visuelle est parfois inefficace. Ceci est prouvé par la détection des non-conformités (les taux de conformités sont tous inférieurs à 100%) dans les TAF des huit aérodromes de Madagascar.

Ainsi, l'utilisation de ce logiciel qui permet de détecter les non-conformités dans les prévisions d'aérodrome est considérée comme une Action Corrective Action Préventive (ACAP) suite à la détection des erreurs.